

100052205

数字信号处理

Digital Signal Processing

李慧琦 教授

信息与电子学院
北京理工大学

Tel: +86 (10) 68918239

Email: huiqili@bit.edu.cn

第三章 离散傅里叶变换

本章主要内容

- 傅里叶变换的几种形式
- 离散傅里叶级数
- 离散傅里叶变换的定义和性质
- 频域采样
- **DFT**的应用



数字信号处理 (Digital Signal Processing)

§ 3-6 频域采样

取样点数的限制

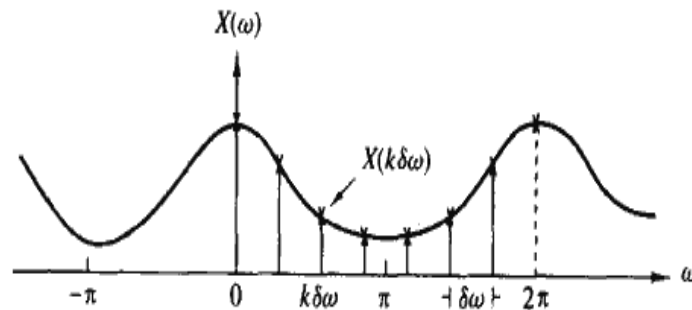
$\forall x(n)$, 任一非周期序列 (绝对可和)

$$X(z) \rightarrow X(e^{j\omega}) = \sum_{n=-\infty}^{+\infty} x(n)e^{-j\omega n}$$

$$X(k) = X(e^{j\omega}) \Big|_{\omega = \frac{2\pi}{N}k, k=0,1,\dots,N-1}$$

问题: $X(k), 0 \leq k \leq N-1 \xrightarrow{?} x(n)$

频率取样后, 信息有没有损失? 能否用序列频率特性取样值 $X(k)$ 恢复出原序列 $x(n)$?



∴ 频域取样 → 时域周期化

∴ 若 $x(n)$ 为无限长序列,
则不可能由 $X(k) \rightarrow x(n)$

若有 $x(n), n = 0, 1, \dots, M-1$

如何选取 N 才能使

$$X(k) \rightarrow x(n)$$

$$0 \leq k \leq N-1 \quad 0 \leq n \leq M-1$$



数字信号处理 (Digital Signal Processing)

$$\text{令 } \tilde{X}(k) = X((k))_N \longleftrightarrow \tilde{x}'(n) = \frac{1}{N} \sum_{k=0}^{N-1} \tilde{X}(k) W_N^{-kn} \quad \forall n$$

$$= \frac{1}{N} \sum_{k=0}^{N-1} X(k) W_N^{-kn}$$

$$= \frac{1}{N} \sum_{k=0}^{N-1} \left[\sum_{m=0}^{M-1} x(m) W_N^{km} \right] W_N^{-kn}$$

$$= \sum_{m=0}^{M-1} x(m) \left[\frac{1}{N} \sum_{k=0}^{N-1} W_N^{(m-n)k} \right]$$

$$= \sum_{m=0}^{M-1} x(m) \delta((n + lN) - m) \quad \forall l, n$$

$$= \sum_{l=-\infty}^{+\infty} x(n + lN) \rightarrow x(n)$$

的周期延拓
(N 为周期)

$$\begin{aligned} & \frac{1}{N} \sum_{k=0}^{N-1} W_N^{(m-n)k} \\ &= \begin{cases} 1, & m = n + lN \\ 0, & \text{其他} \end{cases} \\ &= \delta((n + lN) - m) \end{aligned}$$



数字信号处理 (Digital Signal Processing)

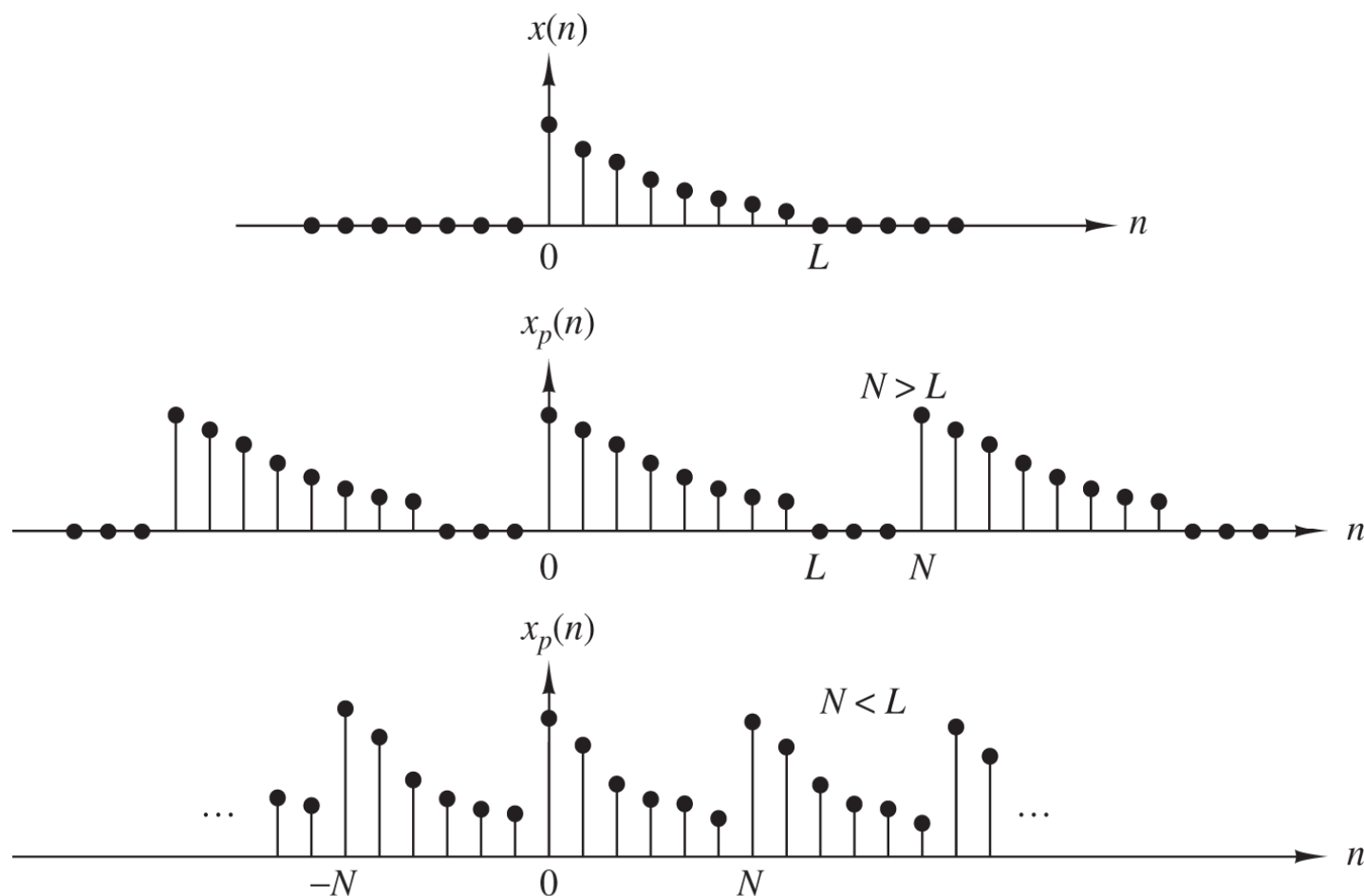


Figure 7.1.2 Aperiodic sequence $x(n)$ of length L and its periodic extension for $N \geq L$ (no aliasing) and $N < L$ (aliasing).

数字信号处理 (Digital Signal Processing)

∴只有当 $N \geq M$ 时

$$\tilde{x}'(n) \rightarrow \tilde{x}'(n)R_N(n) \rightarrow x(n), \quad 0 \leq n \leq M-1$$

$$X(k) \rightarrow x(n)$$

$$0 \leq k \leq N-1 \quad 0 \leq n \leq N-1$$

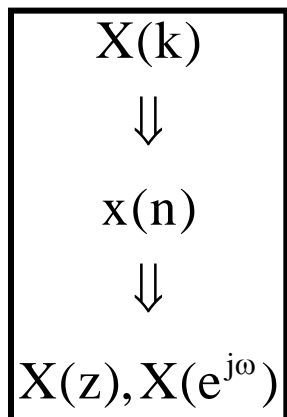
- M 点序列 DTFT 一个周期内均匀采样 N 点，其逆 DFT 是该序列以 N 为周期延拓序列的主值序列
- M点序列 DTFT 一个周期内均匀采样 M 点，其逆 DFT 即为其本身

N点有限长序列 $x(n)$ ，可从单位圆 $X(z)$ 的N个取样值 $X(k)$ 恢复，因而这N个 $X(k)$ 也应该能完全表达整个 $X(z)$ 函数及频响 $X(e^{j\omega})$ 。



数字信号处理 (Digital Signal Processing)

频域内插定理(DFT→ZT)



$$\begin{aligned} X(z) &= \sum_{n=0}^{N-1} x(n) z^{-n} = \sum_{n=0}^{N-1} \left[\frac{1}{N} \sum_{k=0}^{N-1} X(k) W_N^{-kn} \right] z^{-n} \\ &= \frac{1}{N} \sum_{k=0}^{N-1} X(k) \sum_{n=0}^{N-1} (W_N^{-k} z^{-1})^n \\ &= \frac{1}{N} \sum_{k=0}^{N-1} X(k) \frac{1 - \boxed{W_N^{-kN}} z^{-N}}{1 - W_N^{-k} z^{-1}} \\ &= \frac{1 - z^{-N}}{N} \sum_{k=0}^{N-1} \frac{X(k)}{1 - W_N^{-k} z^{-1}} \\ &= \sum_{k=0}^{N-1} X(k) \phi_k(z) \end{aligned}$$

=1

式中

$$\phi_k(z) = \frac{1}{N} \frac{1 - z^{-N}}{1 - W_N^{-k} z^{-1}}$$

(内插函数)

在已知 $X(k)$ 时, 可根据内插公式求得任意 z 点的 $X(z)$ 值, 因此 $X(z)$ 的 N 个取样点的 $X(k)$ 值, 包含了 z 变换的全部信息。



数字信号处理 (Digital Signal Processing)

类似的，有：

$$\begin{aligned} X(e^{j\omega}) &= \sum_{k=0}^{N-1} X(k) \phi(e^{j\omega}) \\ &= \sum_{k=0}^{N-1} X(k) \phi\left(\omega - \frac{2\pi}{N}k\right) \end{aligned}$$

式中：

$$\phi(\omega) = \frac{1}{N} \frac{\sin\left(\frac{\omega N}{2}\right)}{\sin\left(\frac{\omega}{2}\right)} e^{-j\omega\left(\frac{N-1}{2}\right)}$$

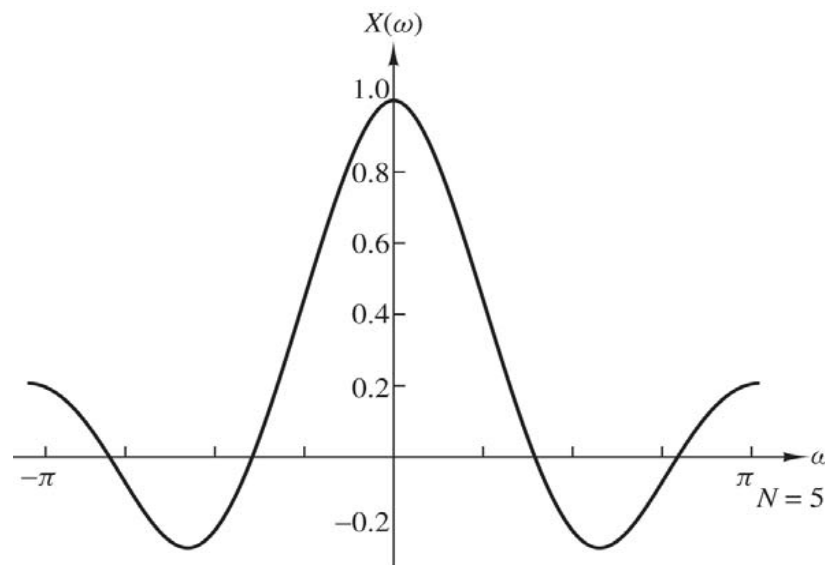


Figure 7.1.3 Plot of the function $[\sin(\omega N/2)]/[N \sin(\omega/2)]$.



数字信号处理 (Digital Signal Processing)

$$\phi(\omega - k \frac{2\pi}{N}) = \begin{cases} 1 & \omega = k \frac{2\pi}{N} \\ 0 & \omega = i \frac{2\pi}{N}, \quad i \neq k \end{cases}$$

相位：线性相移

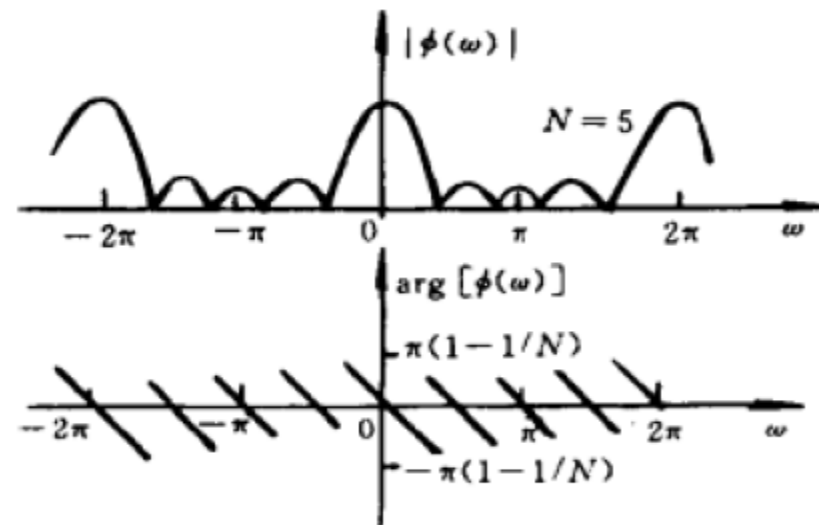


图 3-22 内插函数振幅特性与相位特性

$$\begin{cases} X(z) = \sum_{n=0}^{N-1} x(n)z^{-n} \\ X(z) = \sum_{k=0}^{N-1} X(k)\Phi_k(z) \end{cases}$$

$$\begin{cases} X(e^{j\omega}) = \sum_{n=0}^{N-1} x(n)e^{-j\omega n} \\ X(e^{j\omega}) = \sum_{k=0}^{N-1} X(k)\phi(\omega - k \frac{2\pi}{N}) \end{cases}$$



§ 3-7 DFT对连续时间信号逼近的问题

若信号持续时间为有限长，则其频谱无限宽；
若信号的频谱为有限宽，则其持续时间无限长。
持续时间有限的带限信号是不存在的。

DFT对连续时间信号进行傅里叶分析的近似：

两个变换之间的差异是因为**DFT**需要对连续时间信号**取样**和**截断**为有限列长而产生。

1. 可用前置滤波器滤除幅度较小的高频分量，使连续时间信号的带宽小于折叠频率。
2. 对于持续时间很长的信号，取样点数太多以致无法存储和计算，只好截取为有限长进行**DFT**。



数字信号处理 (Digital Signal Processing)

$$\begin{array}{ccccccc} x_a(t) & \rightarrow & x_a(nT) & \rightarrow & x(n) & \xrightarrow{DFT} & X(k) \approx X_a(e^{j\omega}) \Big|_{\omega=\frac{2\pi}{N}k} \\ & & \updownarrow & & \updownarrow & & || \\ & & X_a(e^{j\omega}) \approx X(e^{j\omega}) & \xrightarrow{\quad} & X(e^{j\omega}) \Big|_{\omega=\frac{2\pi}{N}k} & & \end{array}$$

一、混叠现象 (Aliasing)

消除办法:

f_s 采样频率

F : 频率分量增量

$$F = \frac{1}{NT} = \frac{f_s}{N}$$

1. 时域采样定理

$$f_s \geq 2f_h$$

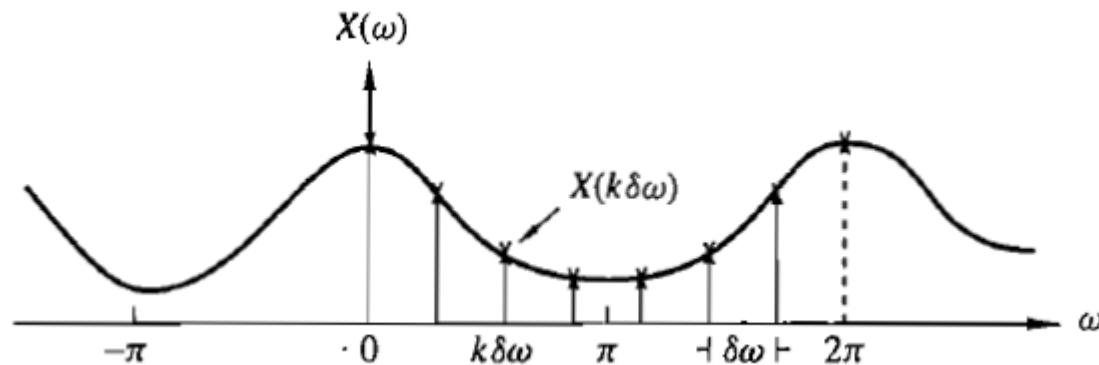
2. 频域采样定理

$$N \geq N_n = \frac{f_s}{F} \geq \frac{2f_h}{F}$$



二、栅栏效应 (Picket Fence Effect)

$$X(k) \approx X_a(e^{j\omega}) \Big|_{\omega=\frac{2\pi}{N}k, 0 \leq k \leq N-1}$$



办法：对 $x(n)$ 通过补零加长。

三、频谱泄露现象 (Spectrum Leakage)

$$x_a(nT) \rightarrow x(n), 0 \leq n \leq N-1$$



$$x_a(nT)R_N(n) \xleftrightarrow{FT} X_a(e^{j\omega}) \widetilde{\otimes} R_N(e^{j\omega})$$

$\therefore X_a(k)$ 中的的频谱被展宽 \rightarrow 泄漏



数字信号处理 (Digital Signal Processing)

DTFT of R_N

例 2.20 若 $x(n) = R_5(n) = u(n) - u(n-5)$ ，求此序列的傅里叶变换 $X(e^{j\omega})$ 。

解

$$X(e^{j\omega}) = \text{DTFT}[R_5(n)]$$

$$= \sum_{n=0}^4 e^{-j\omega n} = \frac{1 - e^{-j5\omega}}{1 - e^{-j\omega}} = \frac{e^{-j\frac{5}{2}\omega} \left(e^{j\frac{5}{2}\omega} - e^{-j\frac{5}{2}\omega} \right)}{e^{-j\frac{1}{2}\omega} \left(e^{j\frac{1}{2}\omega} - e^{-j\frac{1}{2}\omega} \right)}$$

$$= e^{-j2\omega} \left[\frac{\sin\left(\frac{5}{2}\omega\right)}{\sin\left(\frac{1}{2}\omega\right)} \right] = |X(e^{j\omega})| e^{j\varphi(\omega)}$$

其中，幅频特性

$$|X(e^{j\omega})| = \left| \frac{\sin\left(\frac{5}{2}\omega\right)}{\sin\left(\frac{1}{2}\omega\right)} \right|$$

相频特性

$$\varphi(\omega) = -2\omega + \arg \left[\frac{\sin\left(\frac{5}{2}\omega\right)}{\sin\left(\frac{1}{2}\omega\right)} \right]$$



数字信号处理 (Digital Signal Processing)

式中, $\arg[\cdot]$ 表示方括号内表达式引入的相移, 此处, 其值在不同 ω 区间分别为 $0, \pi, 2\pi, 3\pi, \dots$ 图2.10画出了 $R_5(n)$ 及其幅频特性和相频特性。

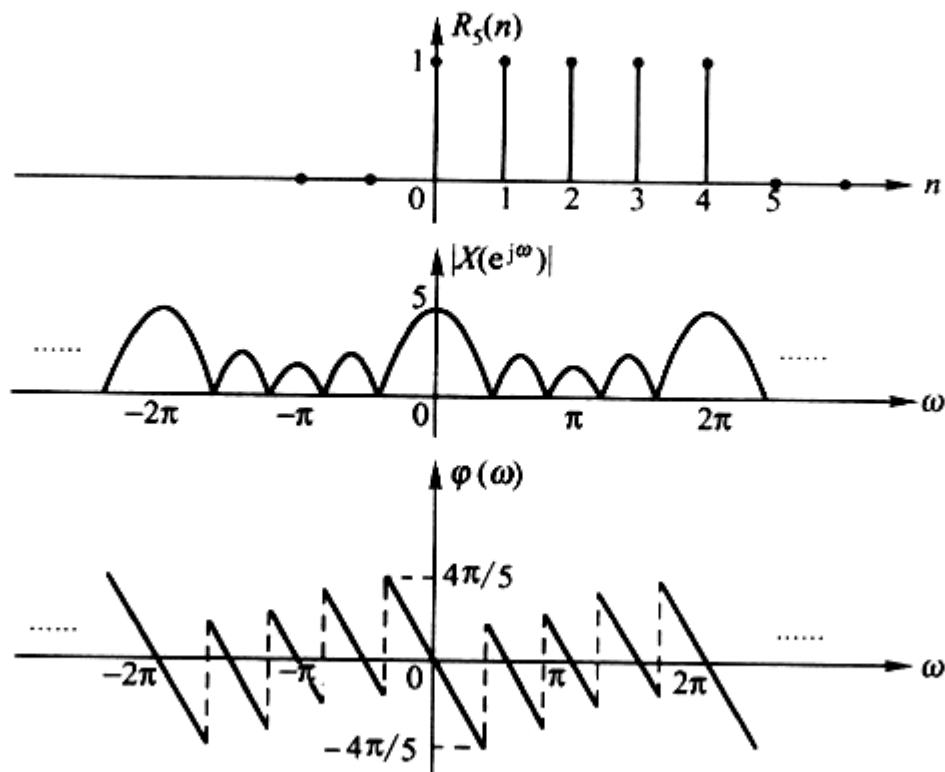


图 2.10 序列 $R_5(n)$ 的傅里叶变换

数字信号处理 (Digital Signal Processing)

例:

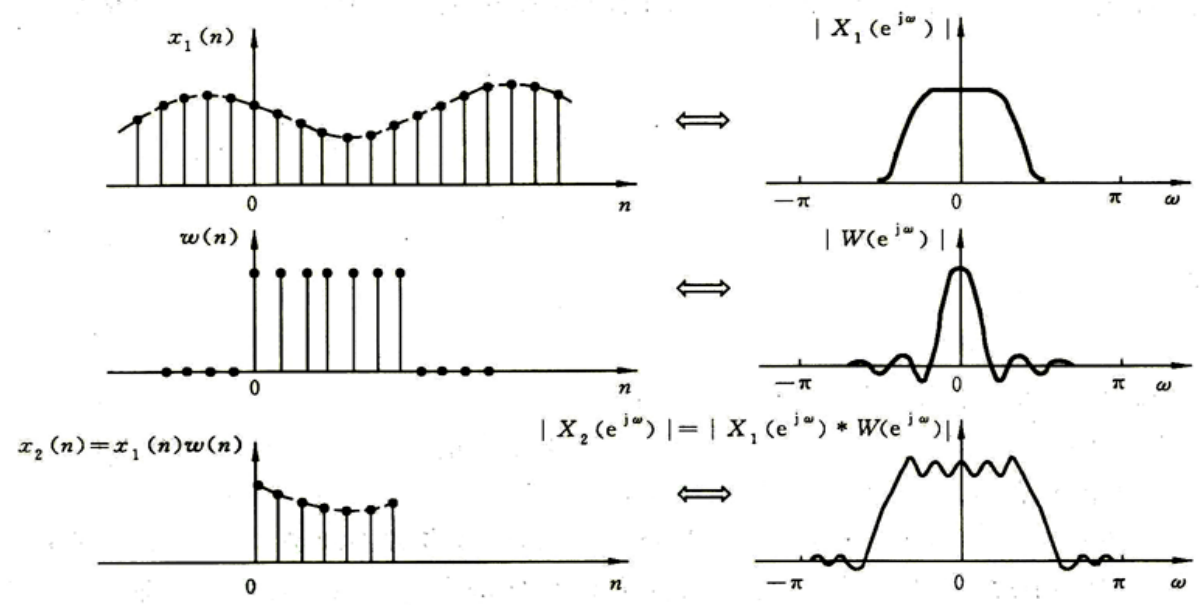


图 3-19 信号截断时产生的频谱泄漏现象

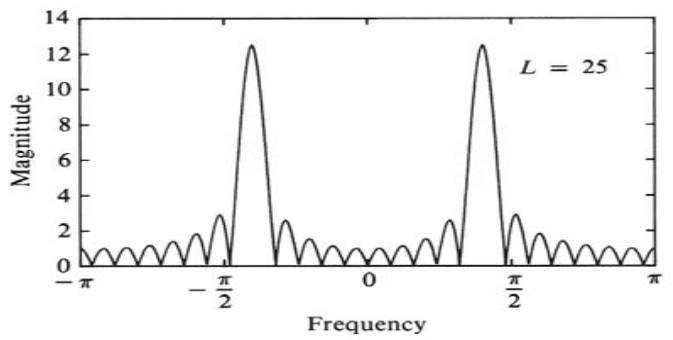


Figure 7.4.1 Magnitude spectrum for $L = 25$ and $N = 2048$, illustrating the occurrence of leakage.

$$x(n) = \cos \omega_0 n$$

N point DFT
L: window length



数字信号处理 (Digital Signal Processing)

解决办法:

1. 增加窗口长度 L

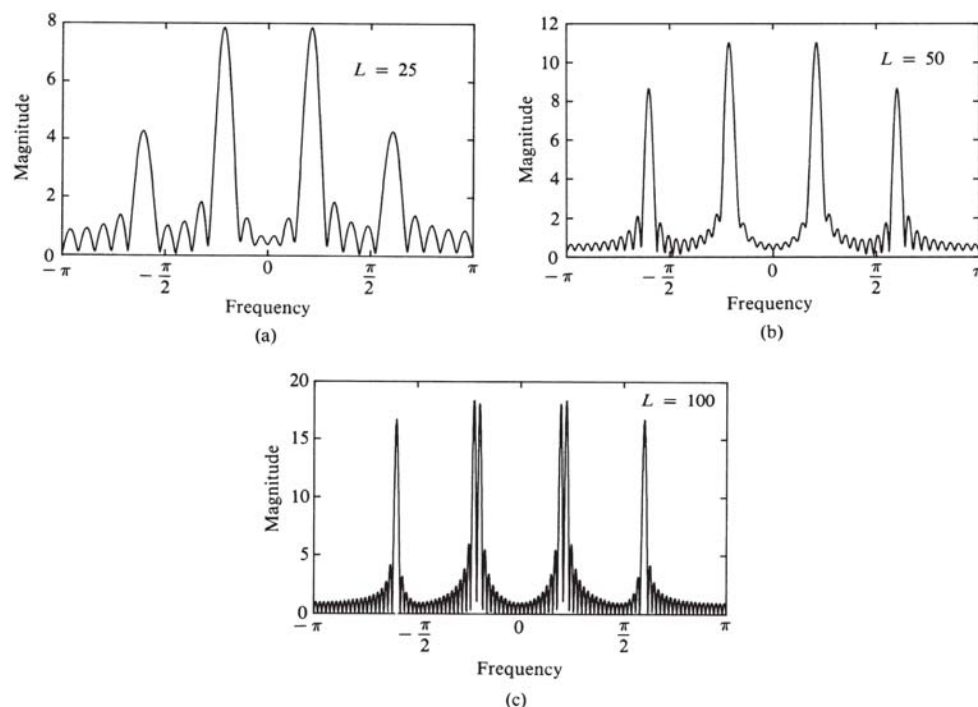


Figure 7.4.2 Magnitude spectrum for the signal given by (7.4.8), as observed through a rectangular window.

2. 应用其他窗函数

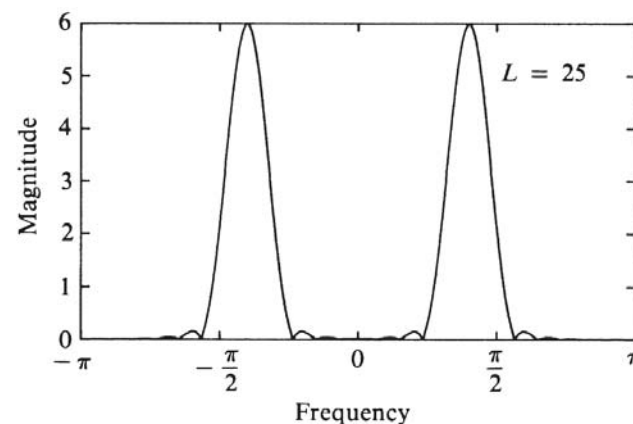


Figure 7.4.3 Magnitude spectrum of the Hanning window.

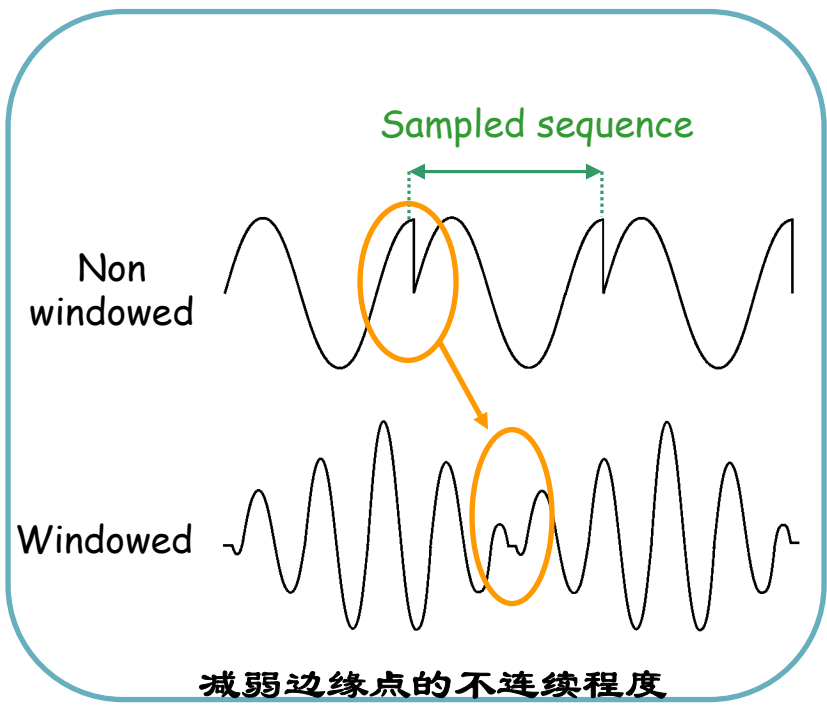
$$w(n) = \begin{cases} \frac{1}{2} \left(1 - \cos \frac{2\pi}{L-1} n \right), & 0 \leq n \leq L-1 \\ 0, & \text{otherwise} \end{cases}$$



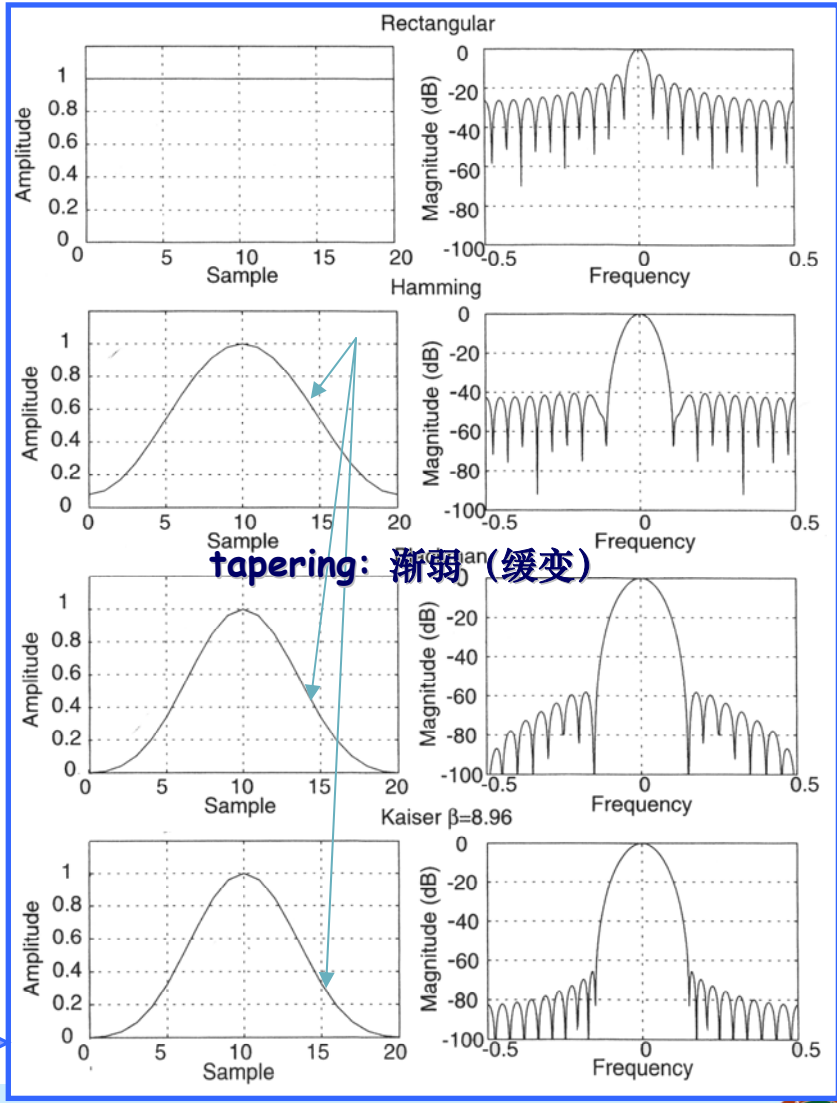
数字信号处理 (Digital Signal Processing)

缓变加窗技术

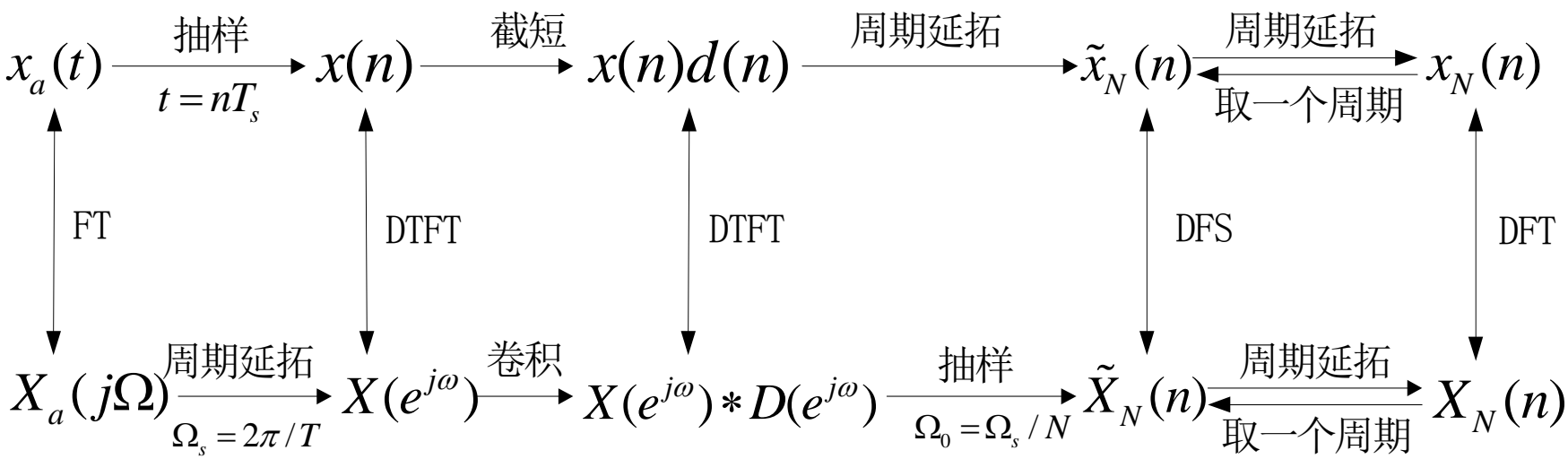
In time it reduces end-points discontinuities.



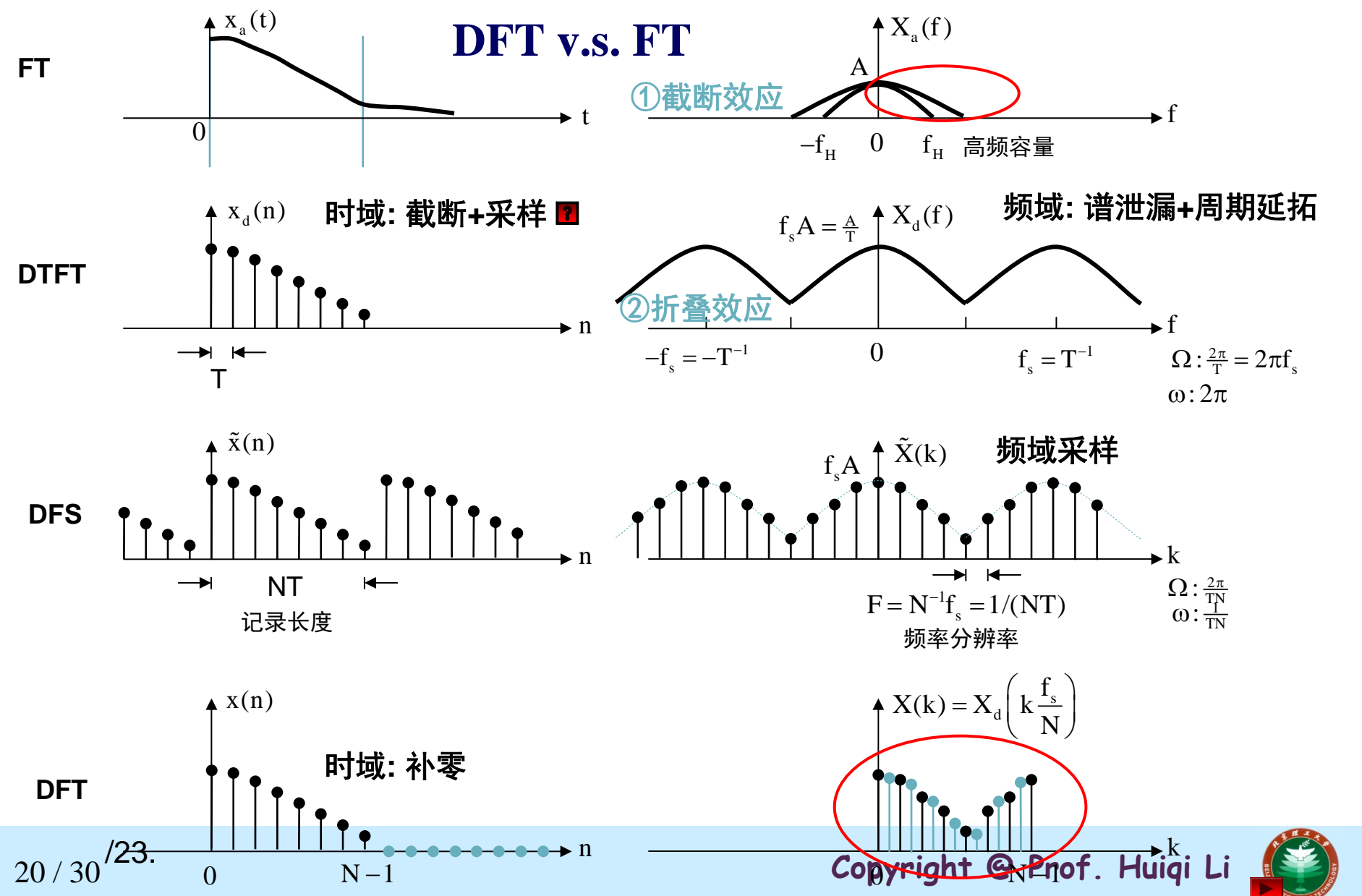
Some window functions



数字信号处理 (Digital Signal Processing)



数字信号处理 (Digital Signal Processing)



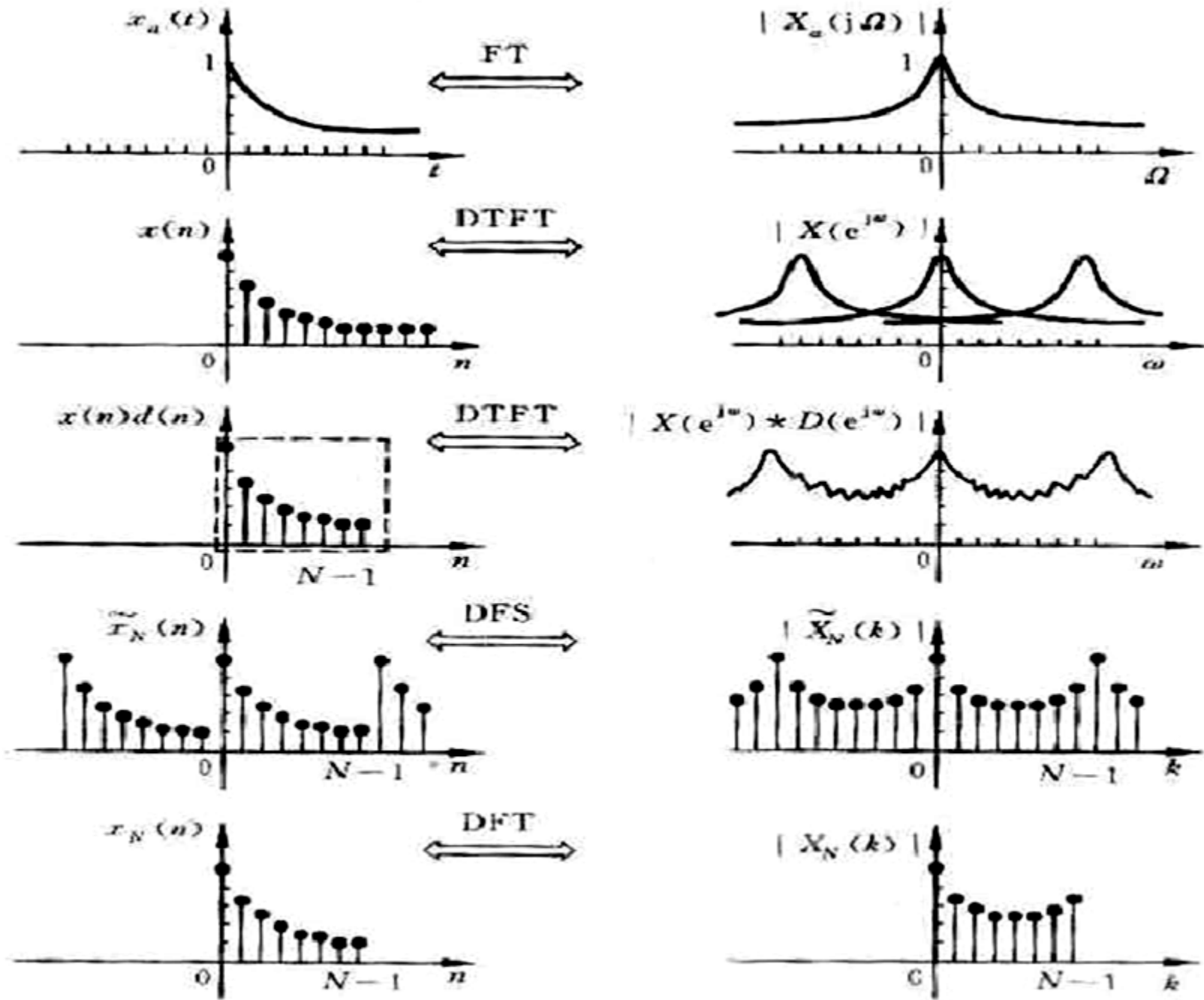


图 3-15 利用 DFT 对 CTFT(连续时间傅里叶变换)逼近的全过程

数字信号处理 (Digital Signal Processing)

DFT 的应用

例 3.9 已知信号 $x(t) = 0.15\sin(2\pi f_1 t) + \sin(2\pi f_2 t) - 0.1\sin(2\pi f_3 t)$ ，其中 $f_1 = 1 \text{ Hz}$ ， $f_2 = 2 \text{ Hz}$ ， $f_3 = 3 \text{ Hz}$ 。从 $x(t)$ 的表达式可以看出，它包含三个正弦波，但从时域波形图 3.17(a) 来看，似乎是一个正弦信号，很难看到小信号的存在，因为它被大信号所掩盖。取 $f_s = 32 \text{ Hz}$ 做频谱分析。

解 因 $f_s = 32 \text{ Hz}$ ，故

$$x(n) = x(nT) = 0.15\sin\left(\frac{2\pi}{32}n\right) + \sin\left(\frac{4\pi}{32}n\right) - 0.1\sin\left(\frac{6\pi}{32}n\right)$$

该信号为周期信号，其周期为 $N = 32$ 。现对 $x(n)$ 做 32 点的离散傅里叶变换 (DFT)，其幅度特性 $|X(k)|$ 如图 3.17(b) 所示。图 3.17(b) 中仅给出了 $k = 0, 1, \dots, 15$ 的结果。 $k = 16, 17, \dots, 31$ 的结果可由 $|X(N-k)| = |X(k)|$ 得出。因 $N = 32$ ，故频谱分辨率 $F = f_s/N = 1 \text{ Hz}$ ；图 3.17 中， $k = 1, 2, 3$ 所对应的频谱即为频率 $f_1 = 1 \text{ Hz}$ ， $f_2 = 2 \text{ Hz}$ ， $f_3 = 3 \text{ Hz}$ 的正弦波所对应的频谱，而且图中小信号成分可以清楚地显示出来。可见小信号成分在时域中很难辨识而在频域中容易识别。

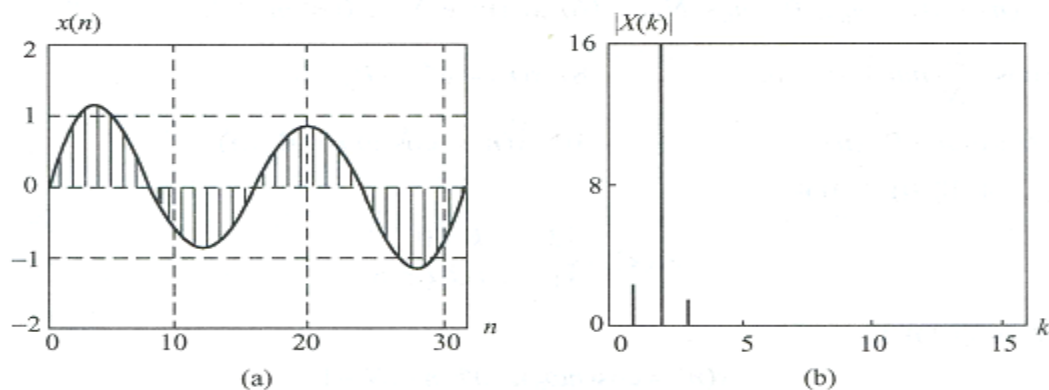


图 3.17 混合频率信号的时域、频域分析

